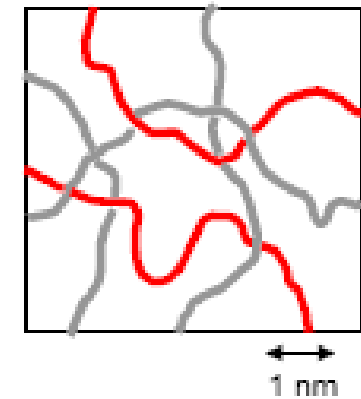


POLIMERNE MJEŠAVINE

-mješavine dva ili više različitih polimera

Razvoj nove mješavine (blenda) je u pravilu puno brže od razvoja novog polimera.

Osnovni pojmovi

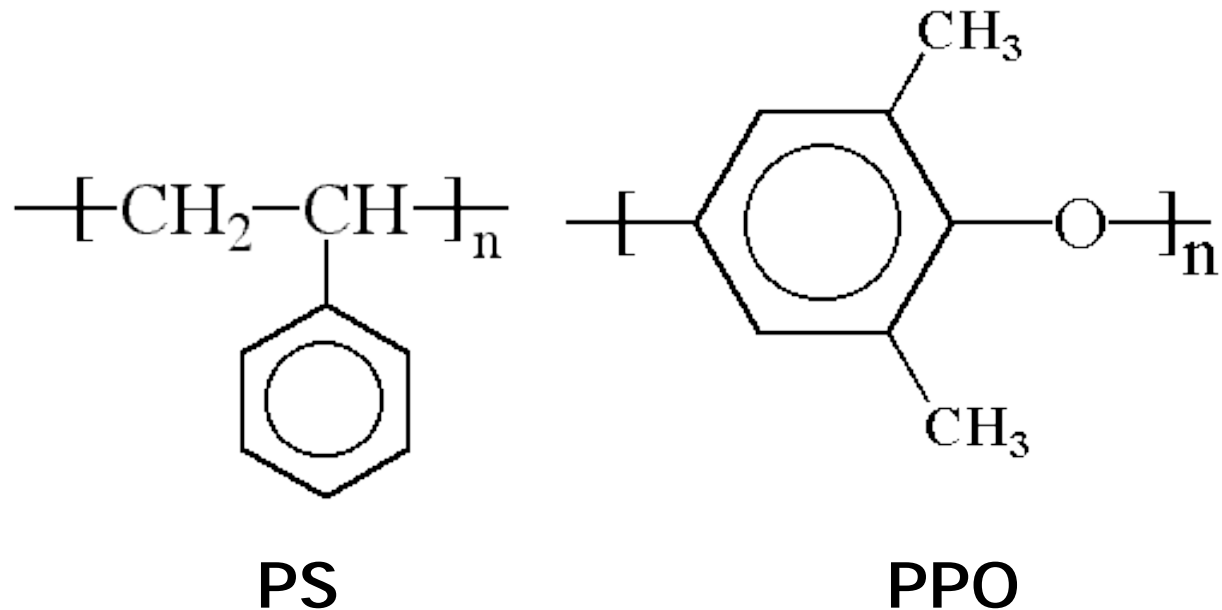


Mješljive mješavine

-homogene na molekulsкоj razini

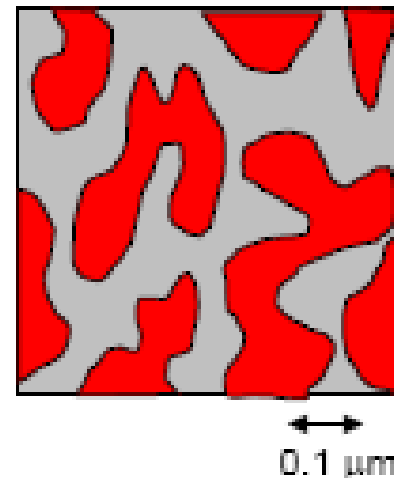
Primjeri: PS/PPO

PMMA/poli(viniliden fluorid)



Djelomično (parcijalno) mješljive mješavine:

-homogene pod određenim uvjetima (pod nekim drugim uvjetima odjeljuju se u faze)



Kompatibilne mješavine:

-nemješljive na molekulskoj razini (sadržavaju dvije ili više faza)
-zadovoljavaju tražena primjenska svojstva

Specifične interakcije koje promoviraju mješljivost:

Vodikove veze

Ionske interakcije

**Elektron donor-akceptor
kompleksi**

Načini priprave polimernih mješavina

- **Mehaničko miješanje - najjeftinije
(Miješanje finih prašaka)**
- **Otapanje polimera u zajedničkom otapalu,
lijevanje filma, sušenje**
- **Blendanje lateksa**
- **Upotreba monomera kao otapala za drugu
komponentu, polimerizacija (interpenetrirane
mreže)**

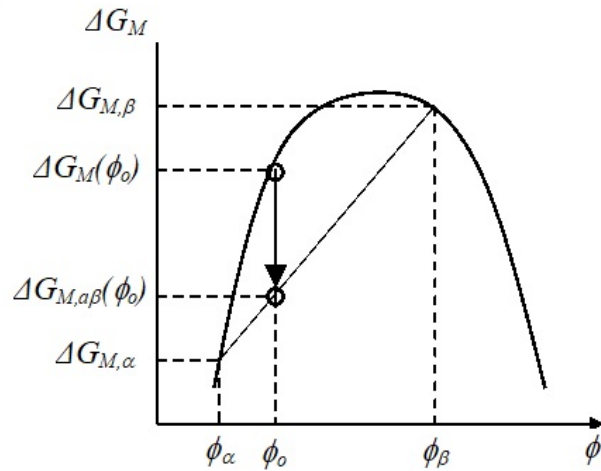
Termodinamika polimernih mješavina

Uvjeti mješljivosti:

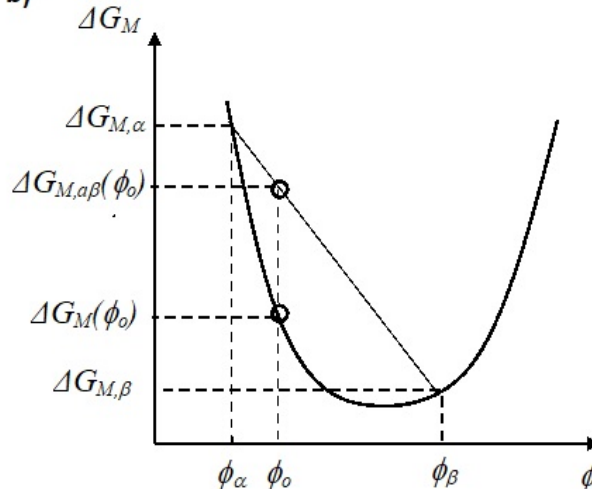
$$\Delta G_M = \Delta H_M - T\Delta S_M < 0$$

$$\frac{\partial^2 \Delta G_M}{\partial^2 \phi_2^2} > 0$$

a)



b)



$$\Delta G_{M,\alpha\beta}(\phi_o) < \Delta G_M(\phi_o)$$

$$\Delta G_M(\phi_o) < \Delta G_{M,a\beta}(\phi_o)$$

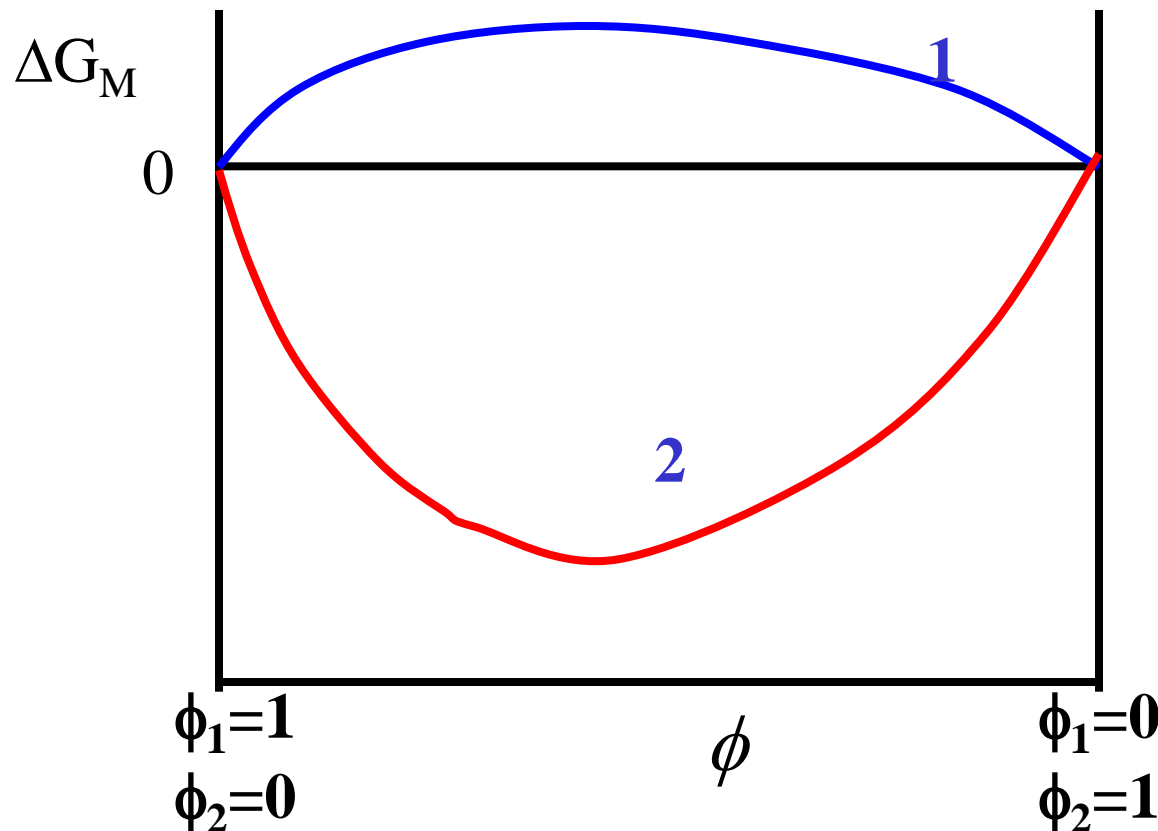
Kriterij za lokalnu stabilnost izražava se preko druge derivacije Gibbsove energije:

$$\frac{\partial^2 \Delta G_M}{\partial \phi^2} < 0$$

sustav je nestabilan

$$\frac{\partial^2 \Delta G_M}{\partial \phi^2} > 0$$

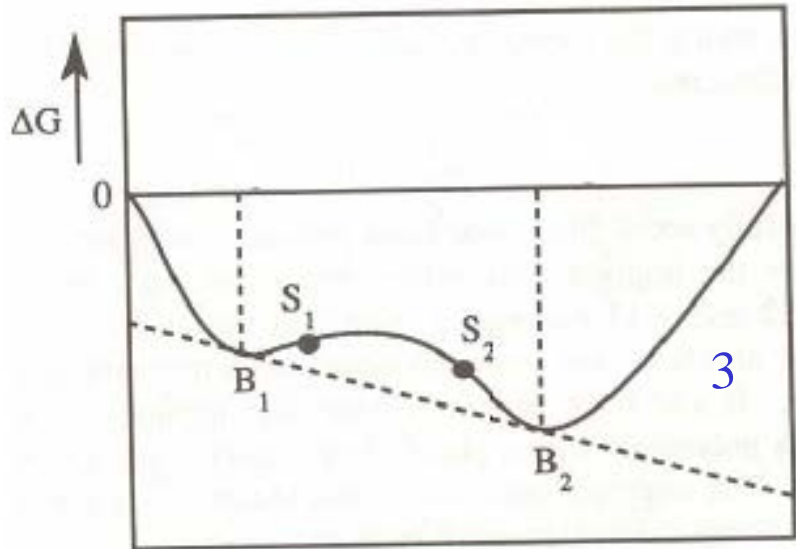
sustav je lokalno stabilan



Krivulja 1: $\Delta G_M > 0$, mješavina je **nestabilna** u cijelom području sastava

Krivulja 2: $\Delta G_M < 0$; $\frac{\partial^2 \Delta G_M}{\partial^2 \phi_2^2} > 0$

(mješavina je **stabilna** u cijelom području sastava)



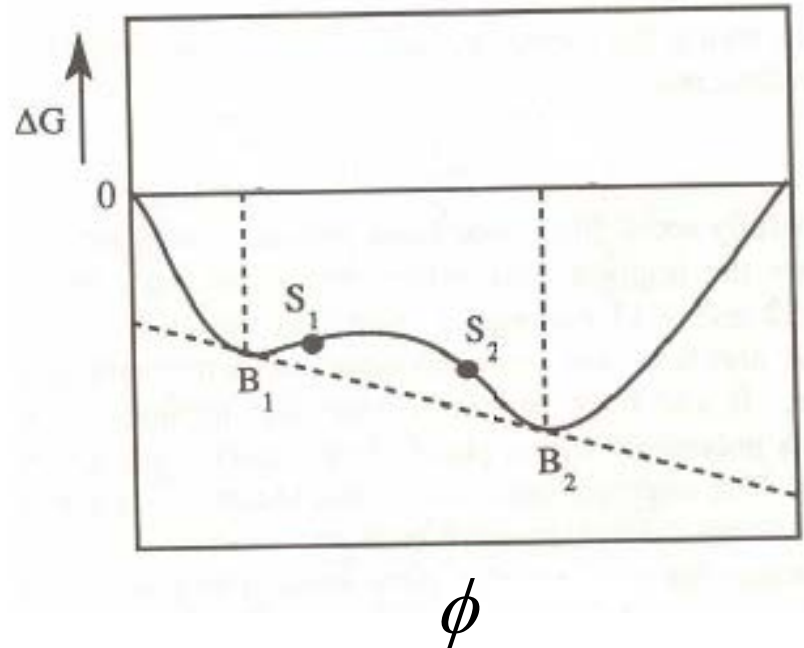
Točke B_1 i B_2 : $\mu_1^I = \mu_1^{II}$
 $\mu_2^I = \mu_2^{II}$

$$\begin{array}{l} \phi_1=1 \\ \phi_2=0 \end{array}$$

$$\phi$$

$$\begin{array}{l} \phi_1=0 \\ \phi_2=1 \end{array}$$

Krivulja 3 : $\Delta G_M < 0$



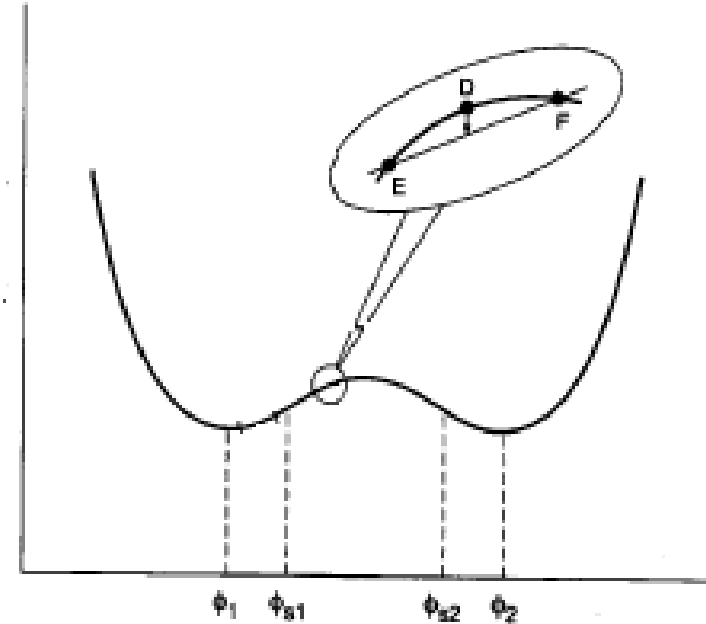
Točke infleksije S_1 i S_2 :

$$\left(\frac{\partial^2 \Delta G_M}{\partial^2 \phi_2^2} \right)_{p,T} = 0$$

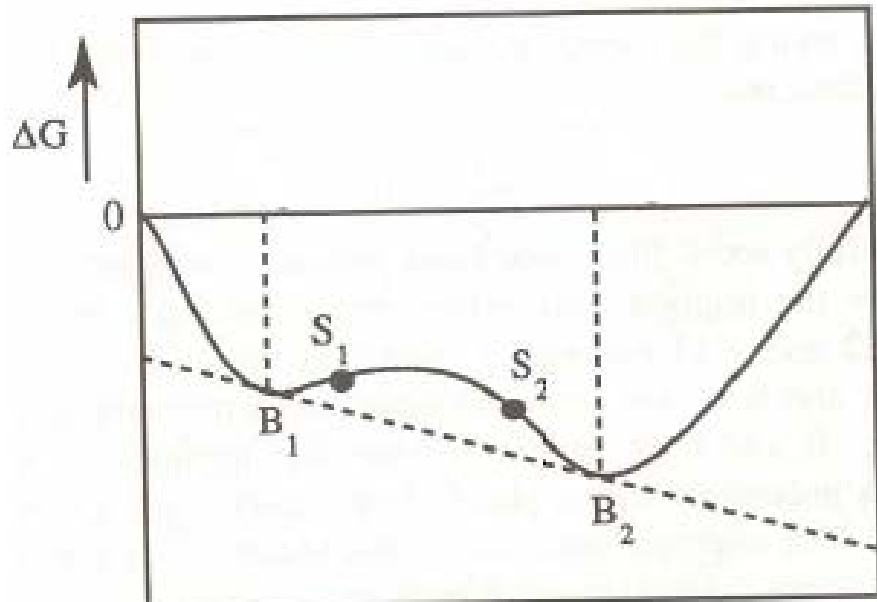
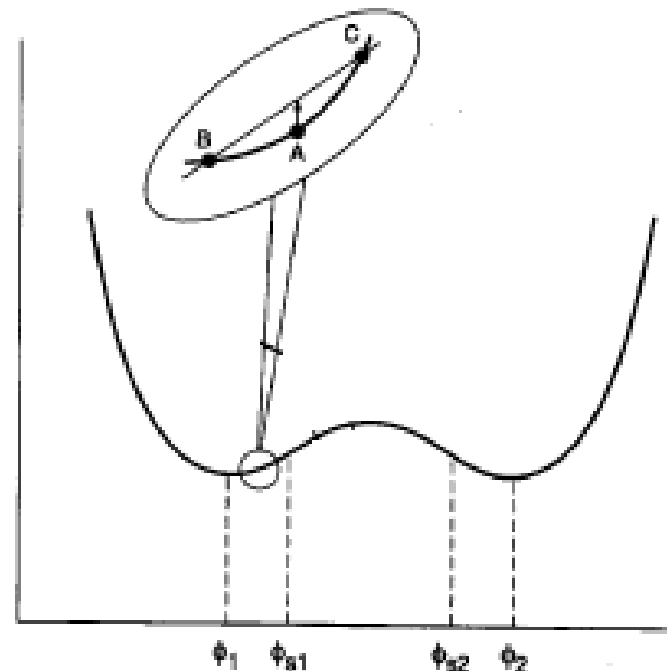
ϕ

S_1-S_2 :

$$\frac{\partial^2 \Delta G_M}{\partial^2 \phi_2^2} < 0$$



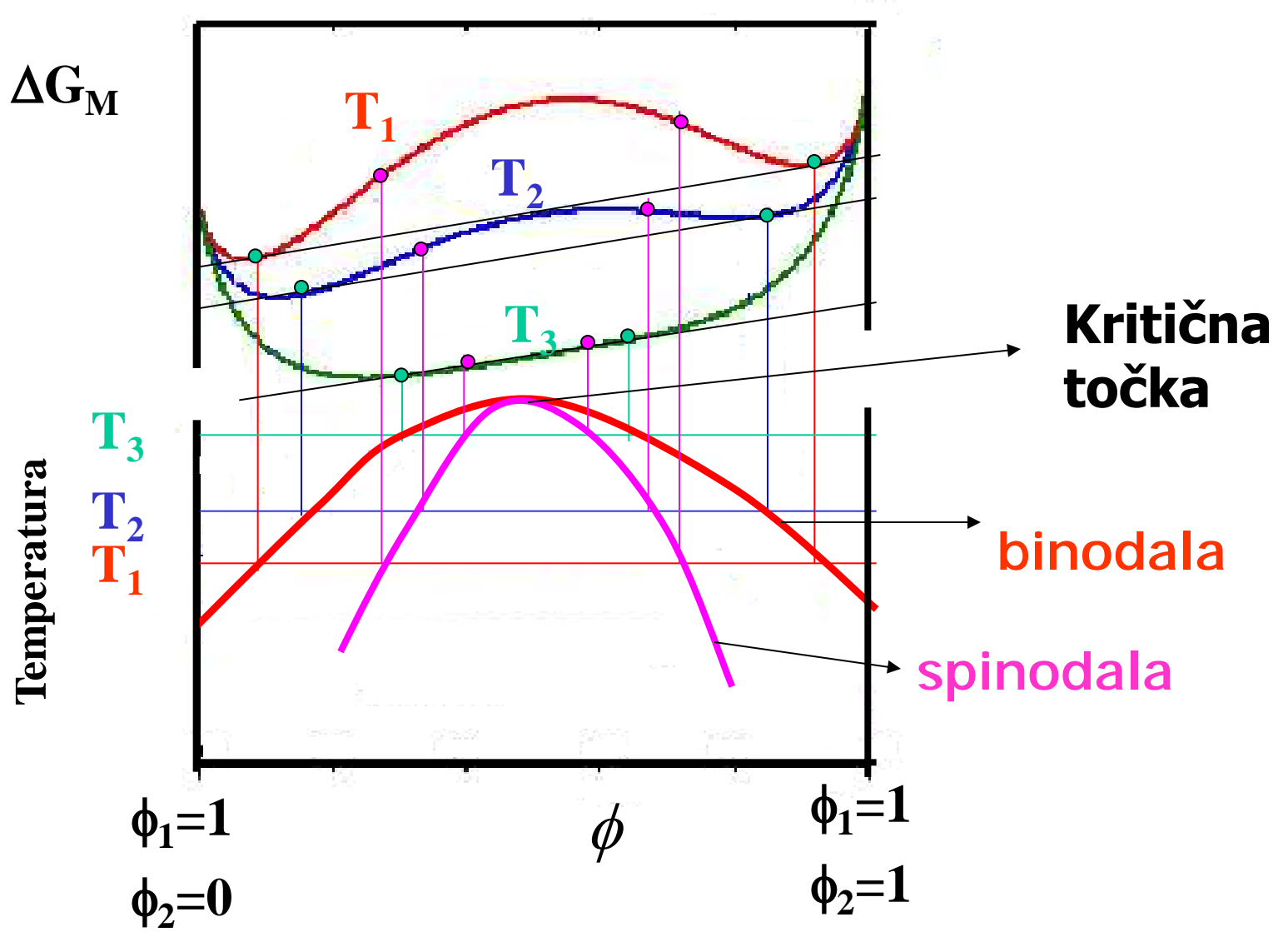
Mješavina je **nestabilna** (već male fluktuacije u sastavu mogu uzrokovati pad slobodne entalpije i odjeljivanje faza)


 ϕ


$B_1 - S_1; S_2 - B_2 :$

$$\frac{\partial^2 \Delta G_M}{\partial^2 \phi^2} > 0$$

Mješavina je metastabilna,
 (stabilna je na male fluktuacije u sastavu ali
 nestabilna prema velikim fluktuacijama
 sastava)



Položaj točaka B_1 i B_2 kao funkcija temperature čini binodalnu krivulju

binodala-ravnotežna krivulja između homogenog i heterogenog sustava (između stabilnih i nestabilnih sastava)

Položaj točaka infleksije S_1 i S_2 kao funkcija temperature čini spinodalnu krivulju

spinodala-granica između metastabilnih i nestabilnih sastava

Kritična točka:

**spajanje binodale i spinodale
(konvergencija točaka B_1, B_2, S_1 i S_2 u jednu točku)**

$$\left(\frac{\partial^2 \Delta G_M}{\partial \phi_2^2}\right)_{p,T} = \left(\frac{\partial^3 \Delta G_M}{\partial \phi_2^3}\right)_{p,T} = 0$$

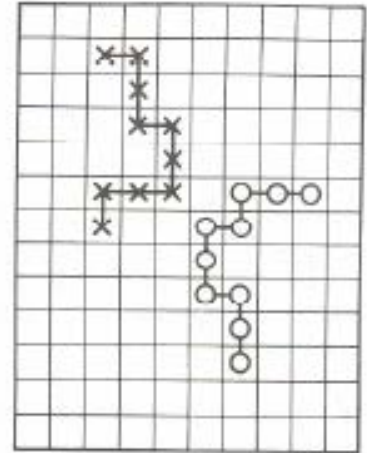
Raspodjela molekulske masa znatno utječe na položaj kritične točke i na kompozicijsku ovisnost binodale i spinodale.

Flory-Hugginsova teorija:

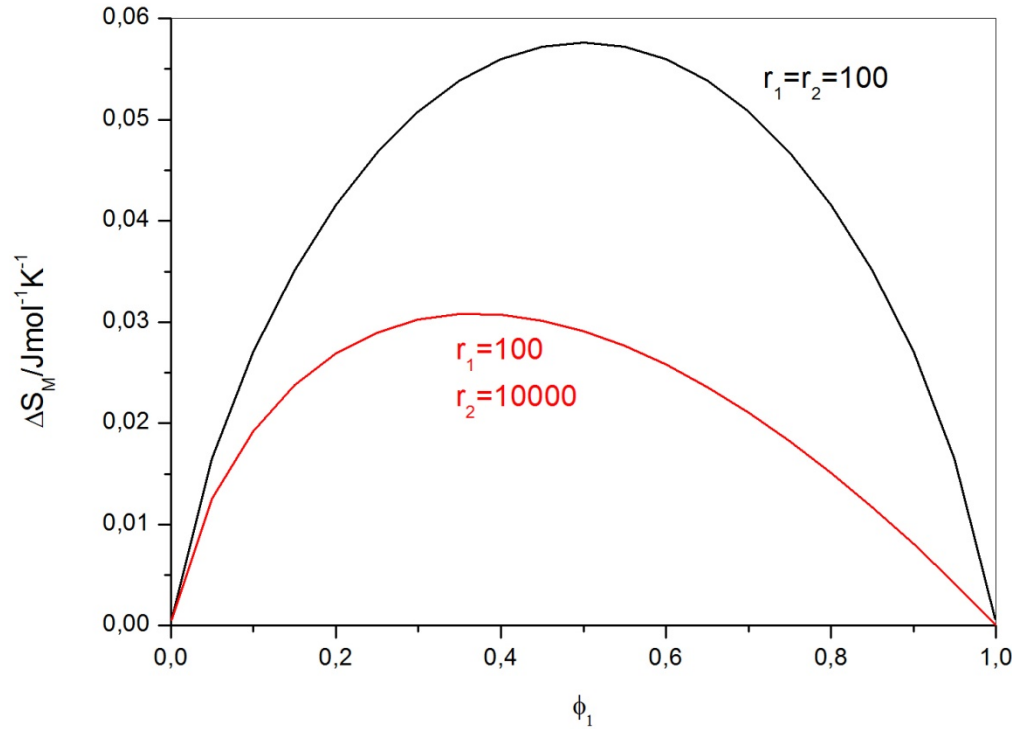
$$\Delta V_M = 0$$

$$\Delta S_M = -R \left[\frac{\phi_1}{r_1} \ln \phi_1 + \frac{\phi_2}{r_2} \ln \phi_2 \right]$$

$$\Delta H_M = RT\chi\phi_1\phi_2$$



$$\Delta G_M = RT \left[\frac{\phi_1}{r_1} \ln \phi_1 + \frac{\phi_2}{r_2} \ln \phi_2 + \chi\phi_1\phi_2 \right]$$



Promjena entropije miješanja za smjese dvaju polimera.

U slučaju jednakog broja segmenata/stupnjeva polimerizacije dobiva se simetrična ovisnost ΔS_M o volumnom udjelu polimera.

$$\Delta G_M = RT \left[\frac{\phi_1}{r_1} \ln \phi_1 + \frac{\phi_2}{r_2} \ln \phi_2 + \chi \phi_1 \phi_2 \right]$$

Mala negativna vrijednost

Mješljivost:

$$\chi < \chi_{kr}$$

$$\chi_{kr} = \frac{1}{2} \left[\frac{1}{\sqrt{r_1}} + \frac{1}{\sqrt{r_2}} \right]^2$$

$$r_1, r_2 \rightarrow \infty$$

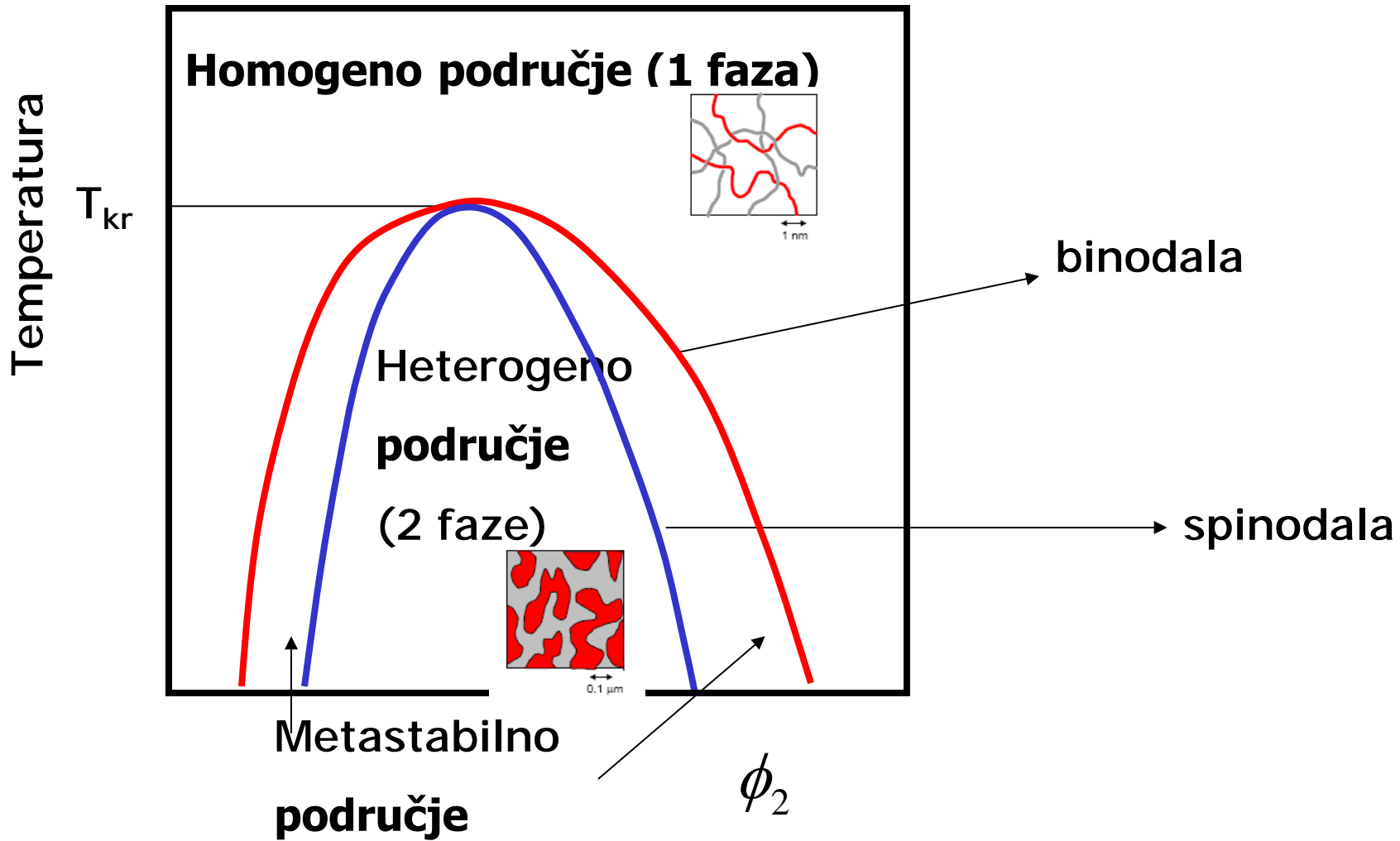
$$\Delta G_M < 0 \Rightarrow \chi < 0$$

Specifične interakcije
(H-veze)

Fazni dijagrami sustava s gornjom kritičnom temperaturom

(engl.Upper Critical Solution Temperature, UCST)

-Početna homogena mješavina podliježe odvajanju faza uslijed sniženja temperature



Npr:

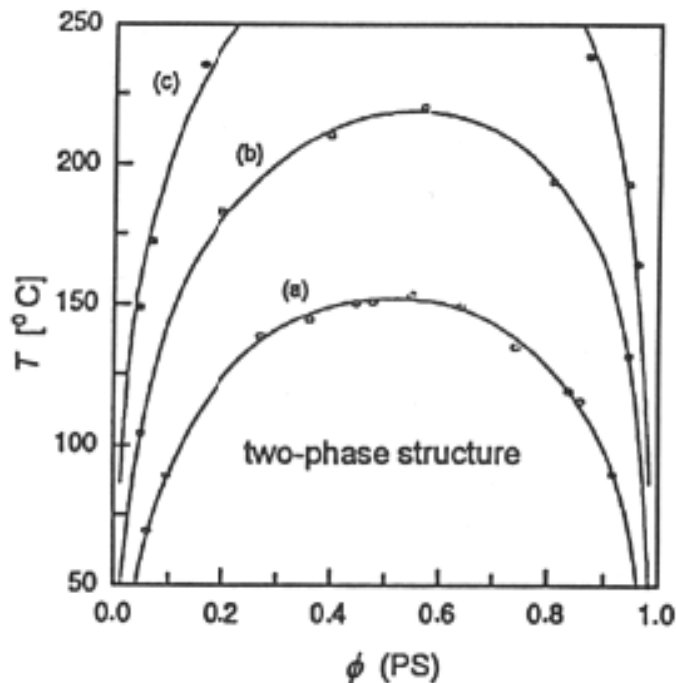
-poliizobuten/poli(dimetil siloksan)

-PS/poliizopren

-poli(etilen oksid)/poli(propilen oksid)

-S povećanjem molekulske mase **gornja kritična temperatura se pomiče prema višim temperaturama**

- Polystyrene and polybutylene blends as a function of I molecular weight



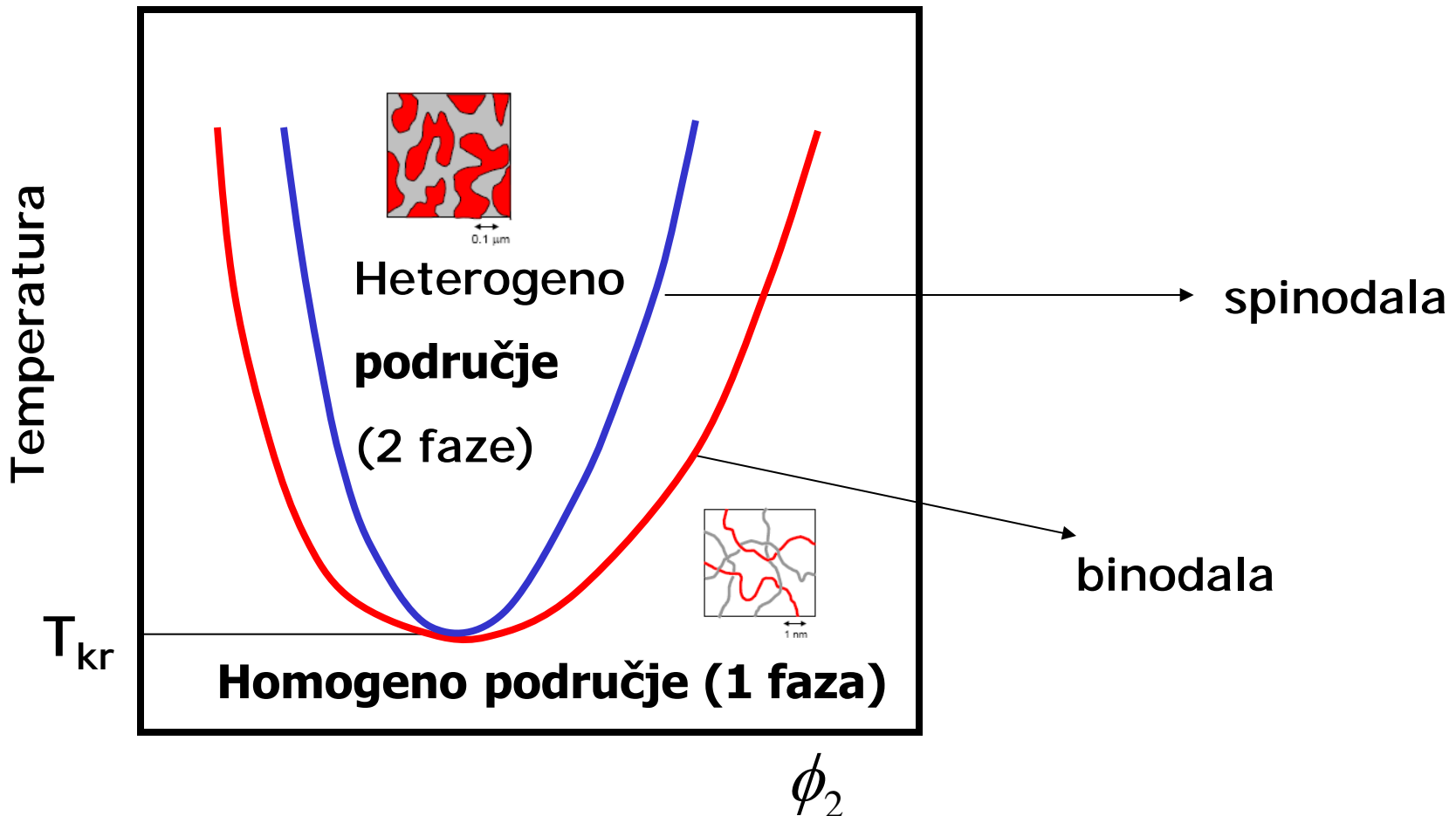
$$M(PB) = 2350$$

- $M(PS) = 2250$
- $M(PS) = 3500$
- $M(PS) = 5200$

Fazni dijagrami sustava s donjom kritičnom temperaturom

(engl. Lower Critical Solution Temperature, LCST)

-Početna homogena mješavina podliježe odvajanju faza uslijed povišenja temperature



Sustavi s donjom kritičnom temperaturom:

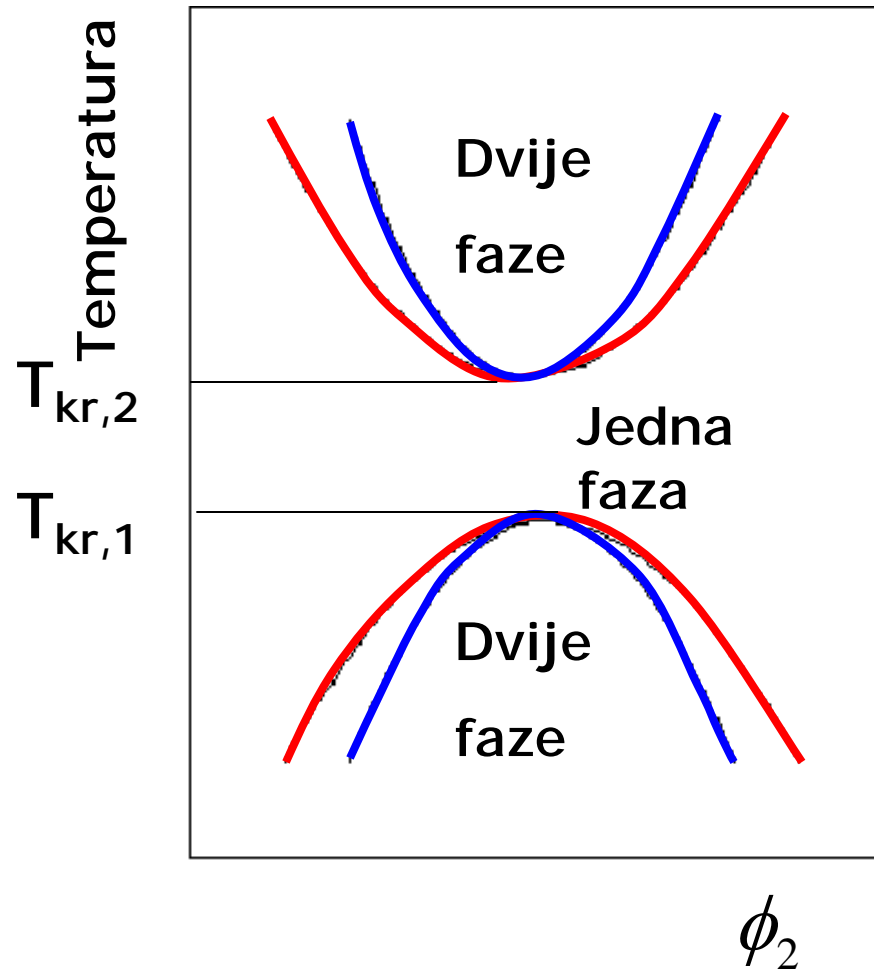
PS/poli(vinil metil eter)

-polikaprolakton/poli(stiren-co-akrilonitril)

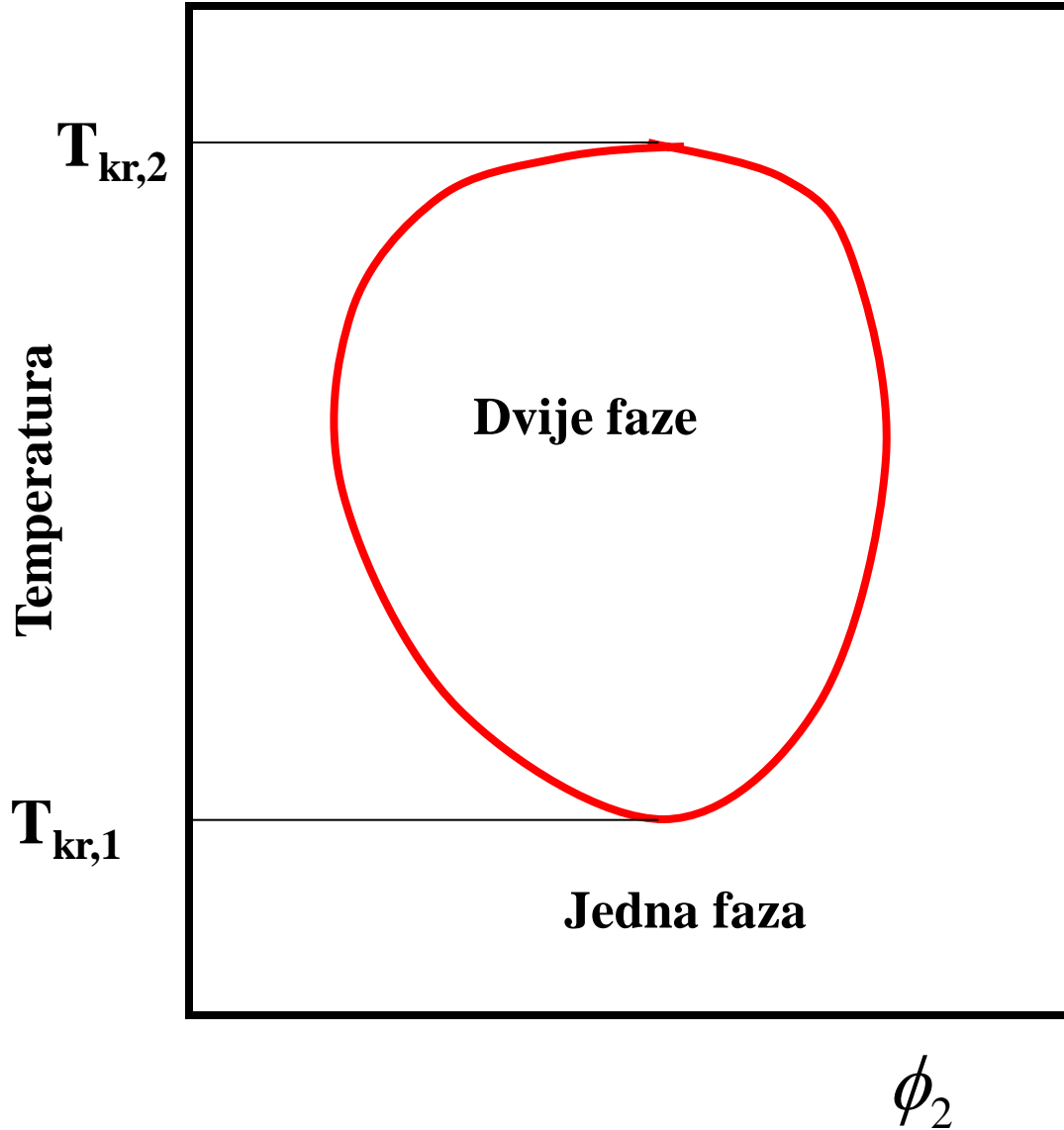
-PMMA/ poli(stiren-co-akrilonitril)

-S povećanjem molekulske mase donja kritična temperatura se pomiče prema nižim temperaturama

Sustavi i s donjom i s gornjom kritičnom temperaturom

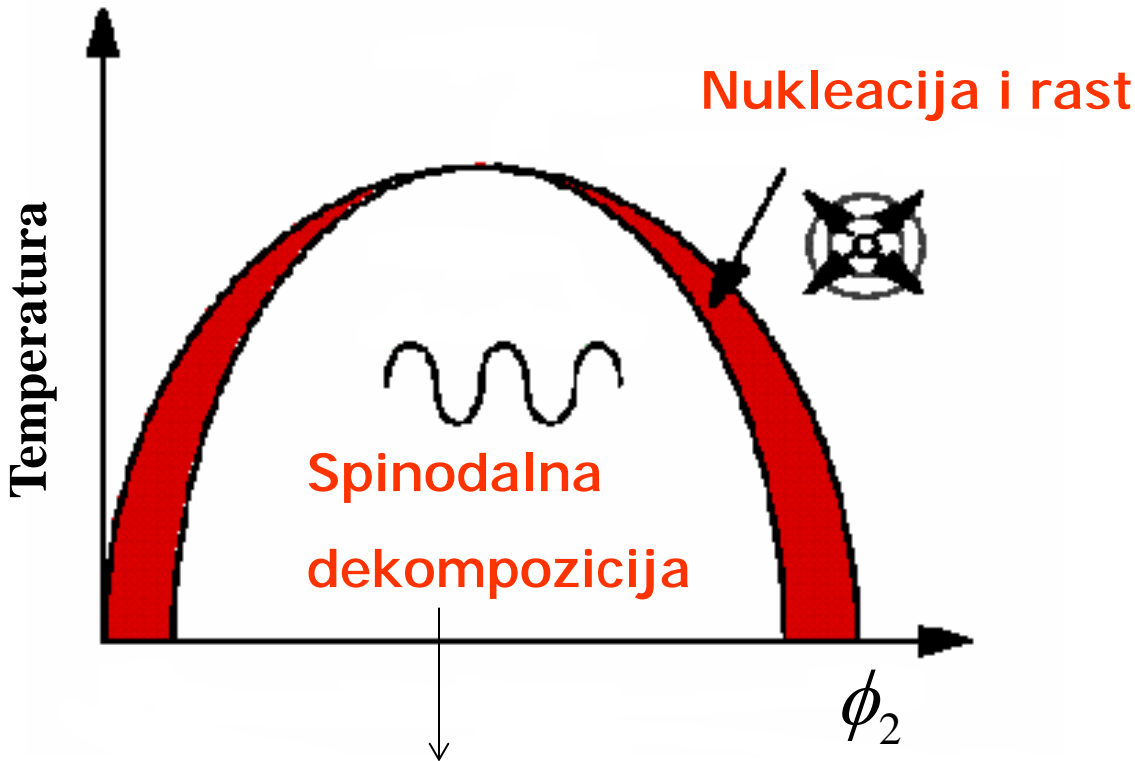


Donja kritična temperatura > Gornje kritične temperature



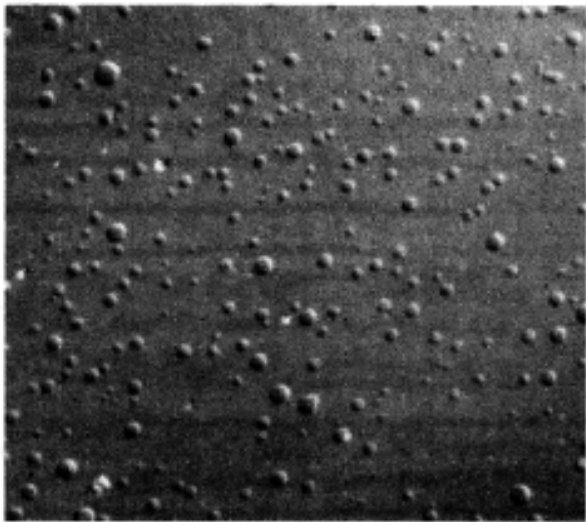
Donja kritična temperatura < Gornje kritične temperature

Mehanizmi faznog odvajanja



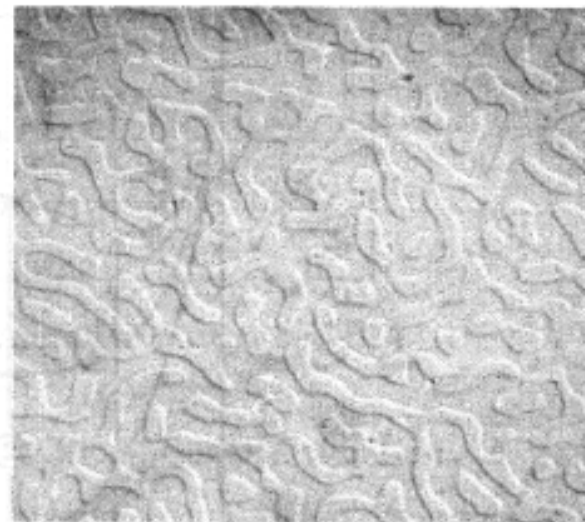
Do difuzije komponenata dolazi s područja manje u područje veće koncentracije („negativna“ difuzija).

Karakteristične mikrostrukture



Nukleacija i rast

Mala sferična područja druge faze koja rastu tijekom vremena



Spinodalna dekompozicija

Početna struktura-
domene svake od faza
su međusobno
povezane

binarni sustav
unutar
spinodalnog
područja
formira u
početku
bikontinuiranu
morfologiju

U kasnijim stadijima spinodalne dekompozicije nastaju sferoidne domene

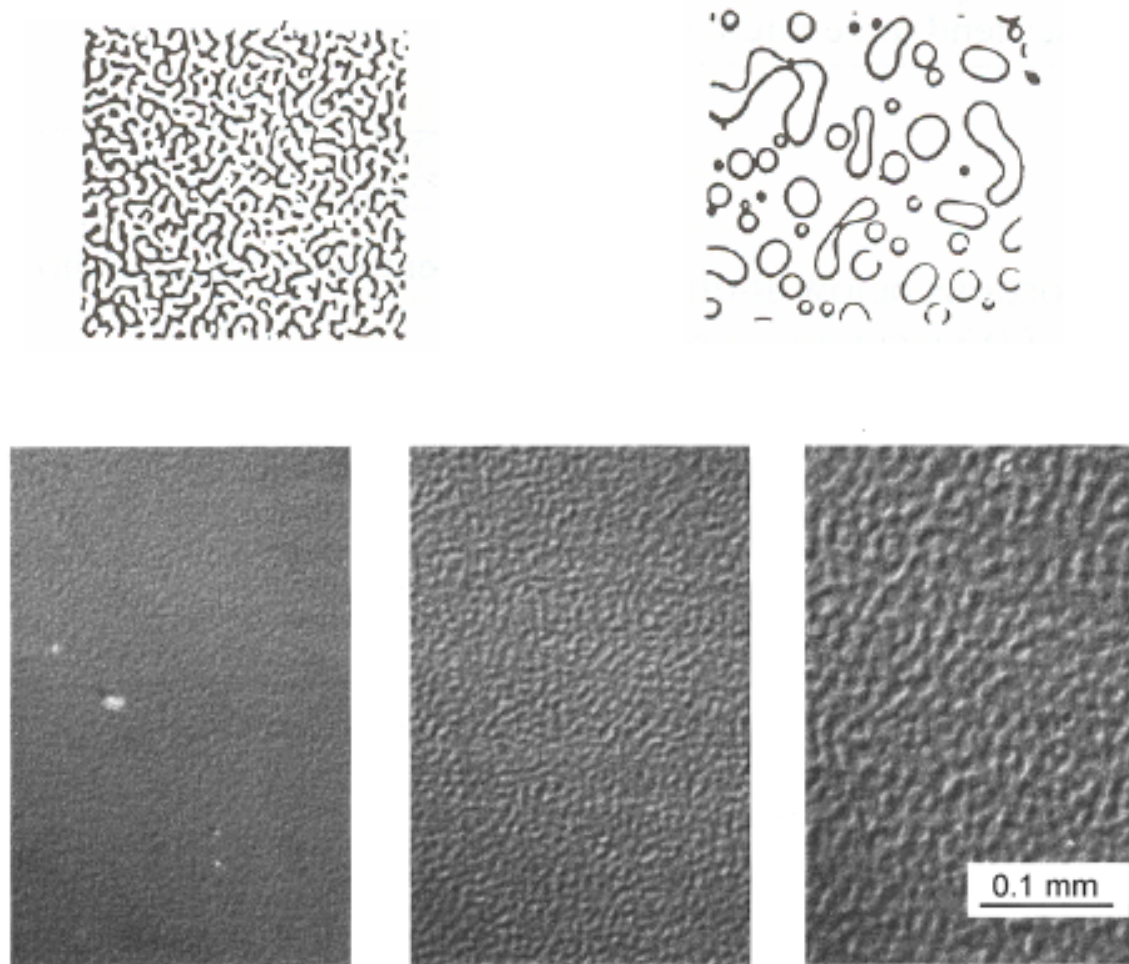


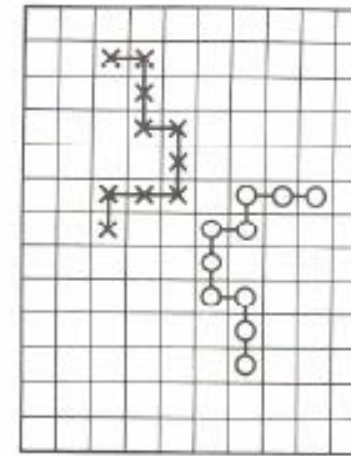
Fig. 3.35. Structure development during the late stages of spinodal decomposition observed for a PS/PBr_xS-(1:1) mixture. Micrographs were obtained during annealing at 200 °C (< $T_c = 220$ °C) for 1 min (left), 3 min (center) and 10 min (right) [17]

Faktori koji uzrokuju razdvajanje faza tijekom preradbe homogene mješavine polimera:

- promjene temperature**
- isparavanje otapala**
- porast molekulske mase**

Granična površina polimer/polimer

Entropija miješanja makromolekula ΔS_M je vrlo mala →čak i vrlo mala pozitivna entalpija miješanja ΔH_M može biti dovoljna da spriječi nastajanje homogene mješavine dva polimera



U polimernim sustavima u pravilu postoji ispreplitanje molekula dviju faza u području granične površine (*interdifuzija*).

Ispreplitanje segmenata makromolekula na graničnoj površini

→ povećanje entropije

(poželjne promjene u slobodnoj energiji)

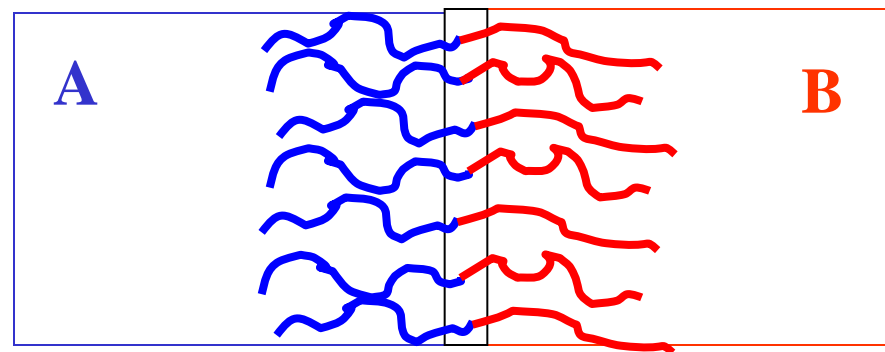
→ molekulske mase makromolekula moraju biti veće od neke kritične vrijednosti

Polidisperznost polimera (**nehomogenost s obzirom na molekulsku masu**): granična površina može biti bogatija na molekulama niske molekulske mase i krajevima lanaca.

Da bi dispergirali 2 nemješljiva polimera A i B jedan u drugom sustavu se dodaju aditivi za poboljšanje mješljivosti, (kompatibilizatori) čiji jedan dio molekule "traži" A-tip okoliša a drugi dio B-tip.

(To ne znači da će u njihovu prisustvu dva polimera postati mješljiva ali će se svojstva mješavine (blenda) u pravilu poboljšati).

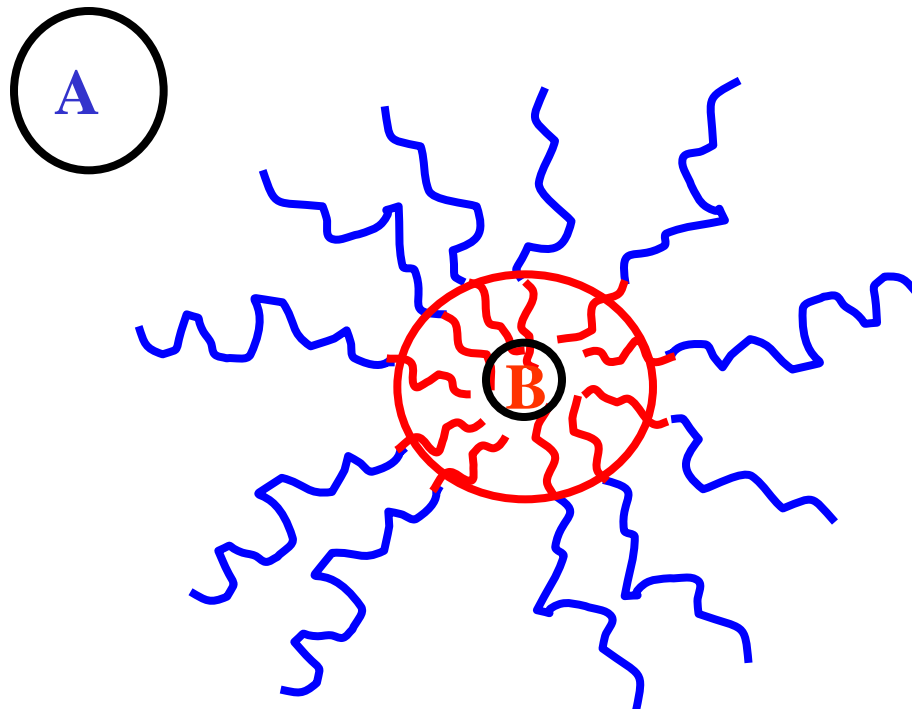
Primjer 1:
mješavina homopolimera A i B u prisustvu
A-B diblok kopolimera



Svojstva aditiva za poboljšanje mješljivosti ovise o :

- strukturi molekule (diblok, triblok, multiblok, alternirajući, nasumični, zvjezdasti, cijepljeni ili češljasti kopolimeri)**
- kemijskom sastavu**
- veličini i raspodjeli molekulskih masa**
- simetriji molekule**

(Ako je npr. u **diblok kopolimeru**
blok A veći u odnosu na blok B,
aditiv će stabilizirati disperziju homopolimera B u
homopolimeru A a ne obrnuto)



Primjer 2:

mješavina homopolimera **A** i **B** u prisustvu
C-D diblok kopolimera

(Homopolimeri A,B,C, i D su nemješljivi)

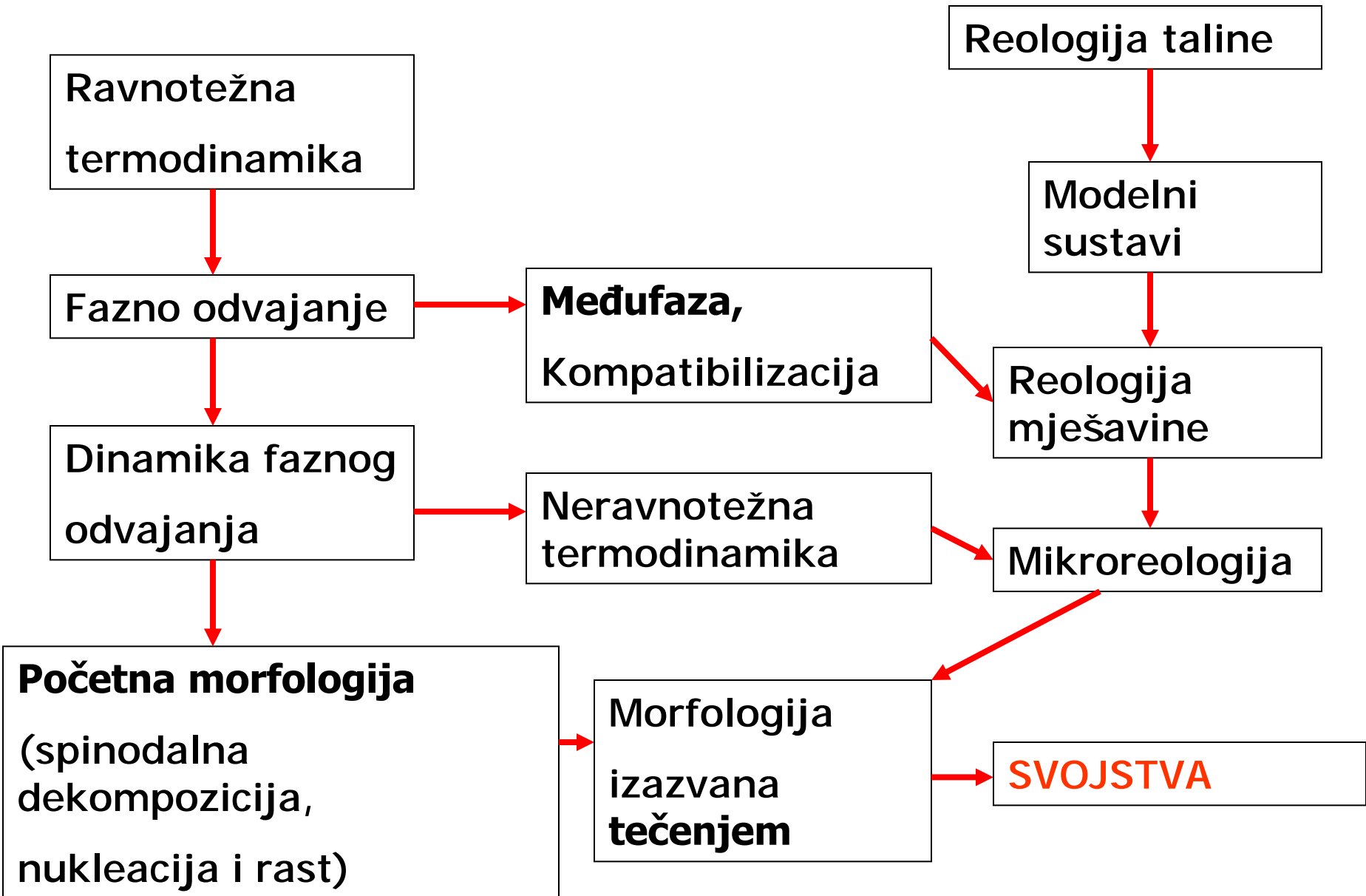
Pretpostavlja se da će **C-D blok kopolimer** djelovati kao aditiv za poboljšanje mješljivosti ako su interakcije između blokova kopolimera i faza koje oni preferiraju povoljnije od interakcija između homopolimera A i B.

Dizajniranje polimerne mješavine

- Definiranje traženih fizikalnih i kemijskih svojstava
- Odabir mogućih polimera
- Procjena prednosti i nedostataka
- Odabir testnih polimera
- Određivanje mješljivosti i metode kompatibilizacije
- Ekonomski faktori (cijena, kompatibilizacija, smješavanje)

- Definiranje idealne morfologije
- Odabir reoloških svojstava (uzimajući u obzir molekulske mase, koncentracije dodataka, vrste i intenzitet deformacija)
- Definiranje metode stabilizacije morfologije (kontrolirana brzina hlađenja, kristalizacija, kemijска reакција, ozračivanje)
- Odabir optimalne metode preradbe da bi se dobila željena morfologija

Razvoj polimerne mješavine



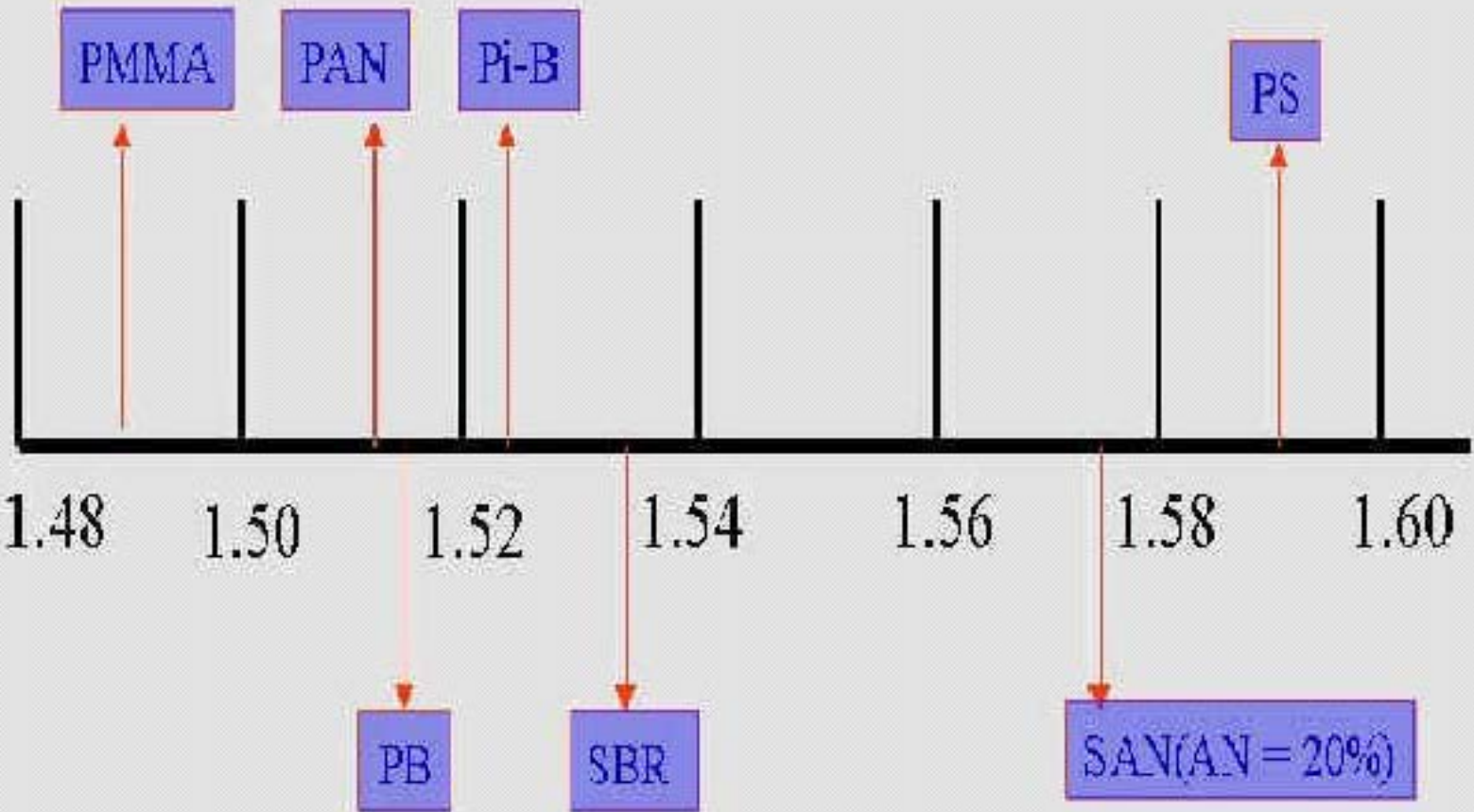
Metode istraživanja mješljivosti

-Optičke metode

-prozirnost filma (???)

? veličina domena u polimernoj mješavini < valne duljine svjetla

? indeksi loma 2 (nemješljiva) polimera su dovoljno bliski



Refractive index for few polymers

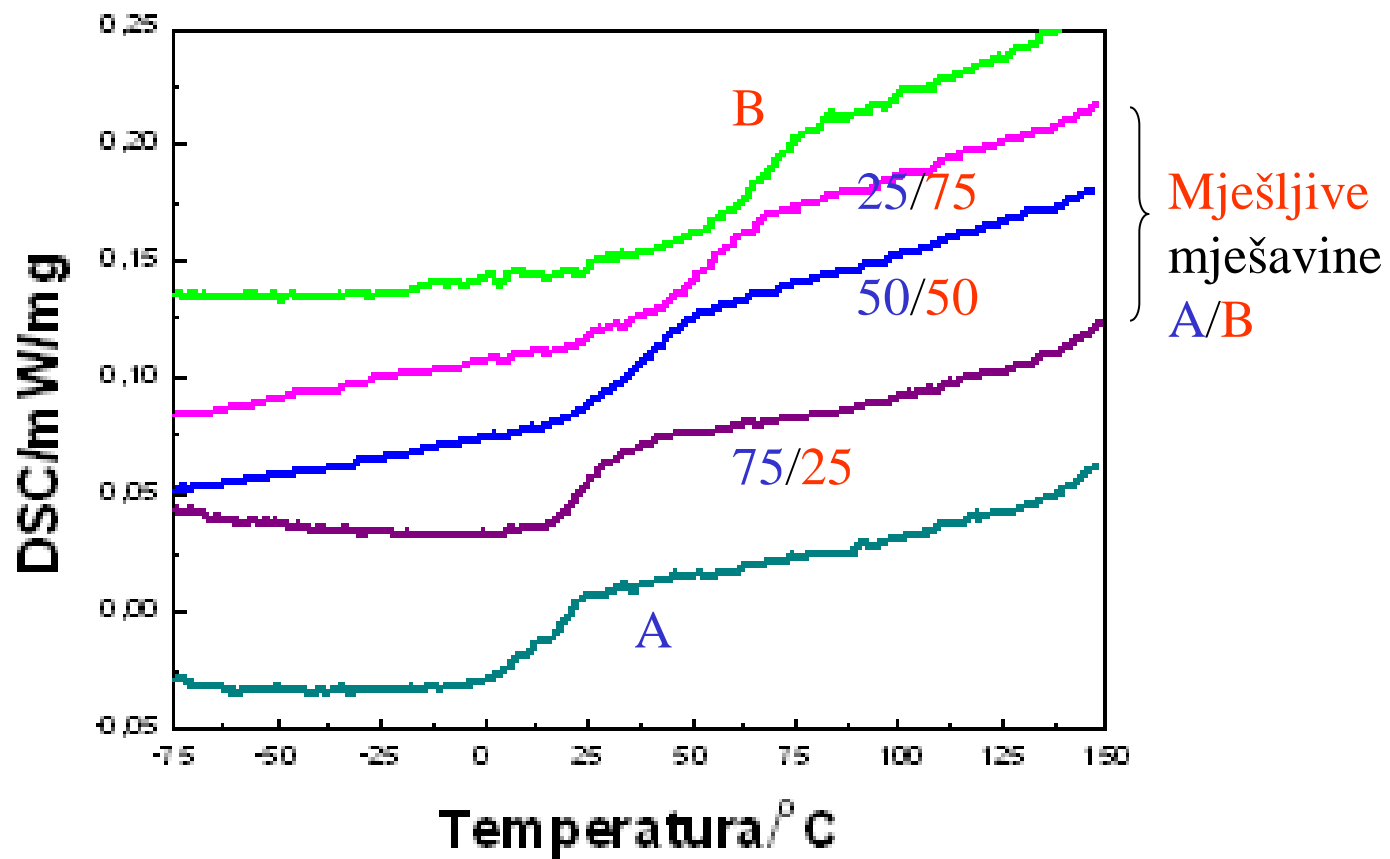
-Određivanje staklišta , T_g

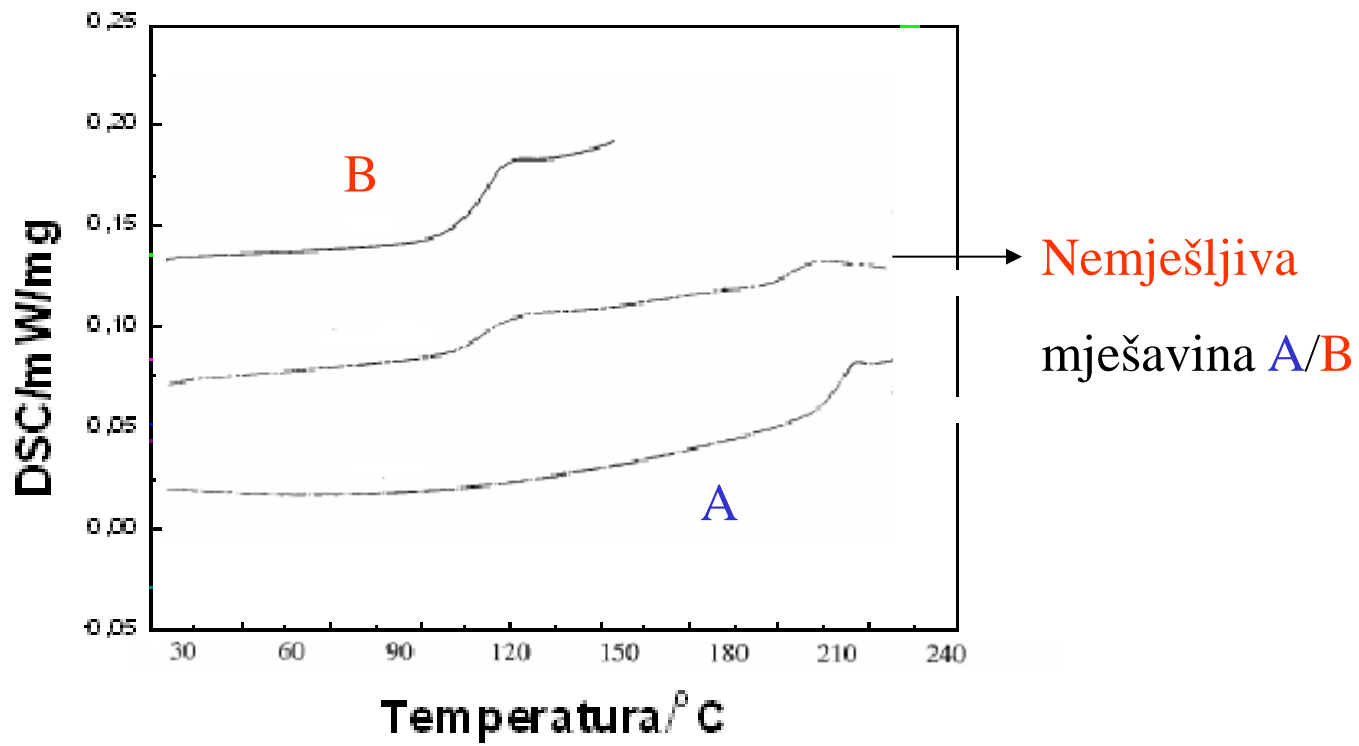
-mješljive mješavine → 1 T_g
(između staklišta čistih komponenata)

-nemješljive binarne mješavine → 2 T_g
(staklišta čistih komponenata)

-djelomično mješljive binarne mješavine → 2 T_g
(postoji pomak u T_g prema srednjoj vrijednosti
staklišta komponenata)

-Metode: DSC, DMA, dielektrična analiza





**-Istraživanja morfologije (mikrodomena u polimernoj mješavini):
TEM, SEM, tehnika rasipanja neutrona, X-zraka..**

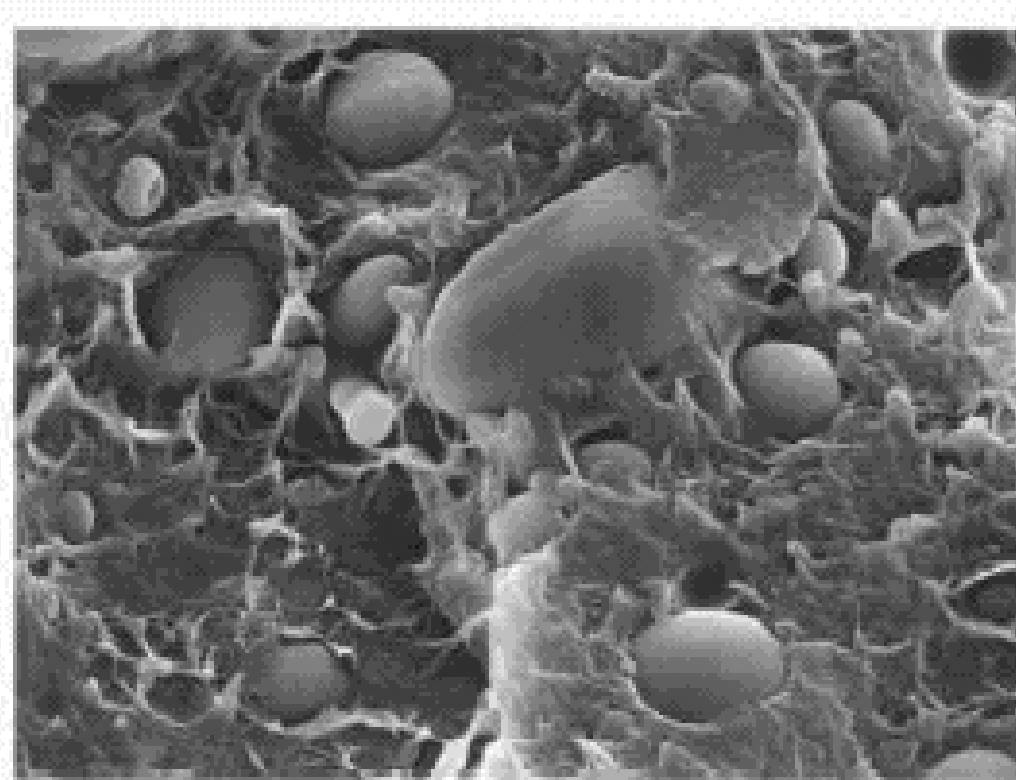


Figure 03 – Scanning electron micrography of the blends - HDPE/PET